

VILNIAUS UNIVERSITETAS
MATEMATIKOS IR INFORMATIKOS FAKULTETAS
INFORMATIKOS INSTITUTAS
PROGRAMŲ SISTEMŲ KATEDRA

Kursinis darbas

Medžiagų maišymo modeliavimas cheminėse reakcijose
(Modelling the mixing of reagents in chemical reactions)

Atliko: 4 kurso 3 grupės studentas

Arnas Vaicekauskas (parašas)

Darbo vadovas:

Asist. Dr. Rokas Astrauskas (parašas)

Vilnius
2024

Turinys

Išvadas	2
1. YAG reakcijos matematinis modeliavimas	3
1.1. YAG sintezė	3
1.2. Kietafazė reakcija	3
2. Matematinis modelis	4
3. Skaitinis modelis	6
3.1. Erdvės diskretizavimas.....	6
3.2. Dviejų dimensijų skaitinis modelis Dekarto koordinatų sistemoje	7
3.3. Modelio skaitinis stabilumas	8
4. Programos sudarymas ir rezultatai	12
4.1. Rezultatų korektiškumo tikrinimas.....	12
4.2. Palyginimas su eksperimentiniais duomenimis	12
5. Maišymo modeliavimas	13
5.1. Maišymo proceso modelis	13
5.2. Maišymo procesu papildytos programos rezultatų analizė.....	13
Rezultatai ir išvados	14
Literatūra	15

Ivadas

Šio **darbo tikslas** yra sukurti kompiuterinį YAG reakcijos maišymo modelį ir jį ištirti.

Iškelti darbo uždaviniai:

1. Sukurti kompiuterinį modelį, kuris įgyvendina YAG reakcijos modelį
2. Patikrinti kompiuterinio modelio rezultatų korektiškumą ir palyginti juos su eksperimentiniais rezultatais
3. Papildyti kompiuterinį modelį su maišymo procesu
4. Ištirti kompiuterinio modelio rezultatus

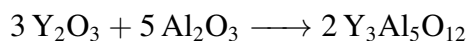
1. YAG reakcijos matematinis modeliavimas

1.1. YAG sintezė

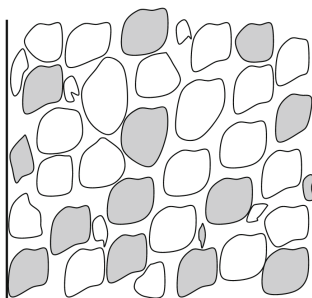
YAG milteliai gali būti sintezuojami keleta skirtingų būdų: Zolis-Gelis procesu, nusodinimu, solvoterminiu procesu, terminio purškimo procesu bei kietafaze reakcija, kuri lieka viena dažniausiai taikomų dėl savo paprastumo bei galimybės pritaikyti masinei gamybai [ZLH⁺05].

1.2. Kietafazė reakcija

Šiame darbe yra modeliuojama paskutinė kietafazės reakcijos stadija, kurios metu reaguodami itrio ir aliuminio oksidai sudaro itrio aliuminio granato kristalus arba tiesiog YAG:



Prieš pradedant reakciją metalų oksidai yra sutrinami iki smulkiagrūdžių miltelių. Metalų oksidų mišinys yra nuolat kaitinamas 1600°C laipsnių temperatūroje ir periodiškai maišomas. Eksperimentiniu būdu išmatuota, kad individualių dalelių turiai prie 1600°C temperatūros siekia apie $\sqrt{10}\mu\text{m}^3$ [IKL09].



1 pav. Priartinto metalų oksidų mišinio iliustracija []

Modeliavimo

Tokioje temperatūroje metalų oksidai lydosi ir vyksta difuzija, dėl šios priežasties cheminei reakcijai yra modeliuojama su difuzijos-reakcijos sistema.

2. Matematinis modelis

Šiame darbe yra naudojamas YAG reakcijos modelis, kurį pasiūlė Ivanauskas et al [IKL05]. Šis matematinis modelis yra reakcijos-difuzijos sistema, kuriai spręsti naudojamas išreikštinių baigtinių skirtumų metodas [PTV⁺07]. Procesas yra modeliuojamas dviejose dimensijose - stačiakampio srityje.

$$\frac{\partial c_1}{\partial t} = -3kc_1c_2 + D \left(\frac{\partial^2 c_1}{\partial x^2} + \frac{\partial^2 c_1}{\partial y^2} \right) \quad \Omega = (0, W) \times (0, H) \quad (1a)$$

$$\frac{\partial c_2}{\partial t} = -5kc_1c_2 + D \left(\frac{\partial^2 c_2}{\partial x^2} + \frac{\partial^2 c_2}{\partial y^2} \right) \quad (x, y) \in \Omega \quad (1b)$$

$$\frac{\partial c_3}{\partial t} = 2kc_1c_2 \quad t \in [0, T] \quad (1c)$$

Čia c_1, c_2, c_3 yra medžiagų koncentracija, t - laikas, T - bedimensė proceso trukmė, W - bedimensis stačiakampio plotis, H - bedimensis stačiakampio aukštis, D - bedimensė medžiagų c_1 ir c_2 difuzijos konstanta, k - bedimensė reakcijos greičio konstanta, Ω - stačiakampio sritis, kurioje vyksta reakcija. Srities Ω kraštinę žymėsime $\partial\Omega$:

$$\partial\Omega = \{0, W\} \times [0, H] \cup [0, W] \times \{0, H\}$$

Šios sistemos modelis yra uždaras - medžiagos neprateka pro stačiakampio srities kraštinę $\partial\Omega$, t. y. taikoma Neumano kraštinė sąlyga:

$$\nabla c_k(x, y, t) \cdot \vec{n} = 0, \quad (x, y) \in \partial\Omega \quad t \in [0, T] \quad k = 1, 2, 3 \quad (2)$$

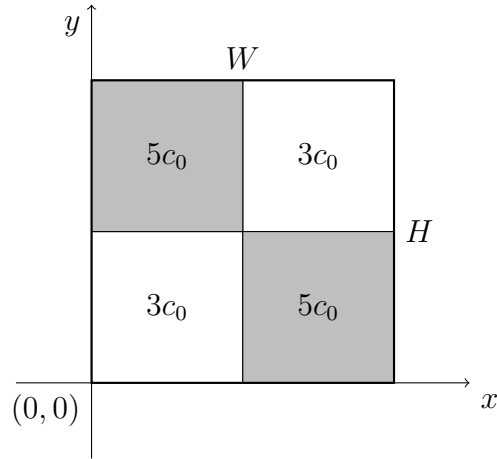
Čia ∇c_k yra medžiagos c_k gradientas, o \vec{n} - paviršiaus $\partial\Omega$ normalė. Išskleidus kraštinės sąlygas (2) dviejose dimensijose gauname:

$$\begin{aligned} \frac{\partial c_k}{\partial x} \Big|_{x=0} = \frac{\partial c_k}{\partial x} \Big|_{x=W} = 0 \quad y \in [0, H] \quad t \in [0, T] \quad k = 1, 2, 3 \\ \frac{\partial c_k}{\partial y} \Big|_{y=0} = \frac{\partial c_k}{\partial y} \Big|_{y=H} = 0 \quad x \in [0, W] \quad t \in [0, T] \quad k = 1, 2, 3 \end{aligned} \quad (3)$$

Ruošiant medžiagas reakcijai yra sudaromas stoichiometrinis medžiagų mišinys, todėl matematiniam modeliui yra taikomos šios pradinės sąlygos:

$$\begin{aligned}
 c_1(x, y, 0) &= \begin{cases} 3c_0, & \text{jei } (x, y) \in \Omega_1 \\ 0, & \text{kitaip} \end{cases} & \Omega_1 &= (0, \frac{W}{2}] \times (0, \frac{H}{2}] \cup [\frac{W}{2}, W) \times [\frac{H}{2}, H) \\
 c_2(x, y, 0) &= \begin{cases} 5c_0, & \text{jei } (x, y) \in \Omega_2 \\ 0, & \text{kitaip} \end{cases} & \Omega_2 &= (0, \frac{W}{2}) \times (\frac{H}{2}, H) \cup (\frac{W}{2}, W) \times (0, \frac{H}{2}) \\
 c_3(x, y, 0) &= 0 & (x, y) &\in \overline{\Omega} = \Omega \cup \partial\Omega
 \end{aligned} \tag{4}$$

Čia $3c_0$ ir $5c_0$ atitinkamai yra medžiagų c_1 ir c_2 dalelių tankiai.

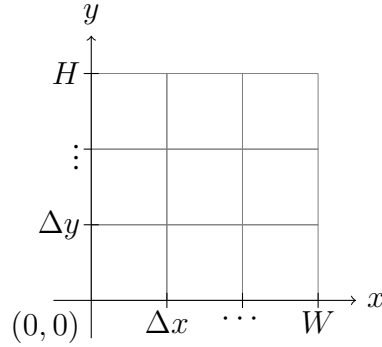


2 pav. Sistemos pradinės sąlygos srityje Ω . Tamsesnė spalva žymi sritį Ω_2 , o šviesesnė Ω_1

3. Skaitinis modelis

3.1. Erdvės diskretizavimas

Sudarydami tinklėlį skaitiniam modeliui, padaliname stačiakampę erdvę Ω į $N \times M$ taškų, kurie yra nutolę vienas nuo kito fiksuotais atstumais Δx ir Δy atitinkamomis ašimis. Laiko erdvę $[0, T]$ padalinsime į



3 pav. Diskretizuota erdvė

Tinklelio taškų koordinatės tada galima užrašyti:

$$\omega_W = \{x_i : x_i = i\Delta x, \quad i = 0, 1, \dots, N-1\} \quad (N-1)\Delta x = W \quad (5)$$

$$\omega_H = \{y_j : y_j = j\Delta y, \quad j = 0, 1, \dots, M-1\} \quad (M-1)\Delta y = H \quad (6)$$

$$\omega_\tau = \{t_n : t_n = n\Delta t, \quad n = 0, 1, \dots, \tau\} \quad \tau\Delta t = T \quad (7)$$

3.2. Dviejų dimensijų skaitinis modelis Dekarto koordinatinių sistemoje

Remiantis išreikštiniu baigtinių skirtumų metodu iš dvimačio modelio galima gauti skaitinį modelį.

$$\begin{aligned} \frac{c_{1,i,j}^{n+1} - c_{1,i,j}^n}{\Delta t} &= -3c_{1,i,j}^n c_{2,i,j}^n \\ &+ D \left(\frac{c_{1,i-1,j}^n - 2c_{1,i,j}^n + c_{1,i+1,j}^n}{(\Delta x)^2} + \frac{c_{1,i,j-1}^n - 2c_{1,i,j}^n + c_{1,i,j+1}^n}{(\Delta y)^2} \right) \end{aligned} \quad (8a)$$

$$\begin{aligned} \frac{c_{2,i,j}^{n+1} - c_{2,i,j}^n}{\Delta t} &= -5c_{1,i,j}^n c_{2,i,j}^n \\ &+ D \left(\frac{c_{2,i-1,j}^n - 2c_{2,i,j}^n + c_{2,i+1,j}^n}{(\Delta x)^2} + \frac{c_{2,i,j-1}^n - 2c_{2,i,j}^n + c_{2,i,j+1}^n}{(\Delta y)^2} \right) \end{aligned} \quad (8b)$$

$$\frac{c_{3,i,j}^{n+1} - c_{3,i,j}^n}{\Delta t} = 2c_{1,i,j}^n c_{2,i,j}^n, \quad (8c)$$

kur $n \in [0, T)$ - laiko momentas, $i \in [0, N)$ - diskrečios erdvės taško koordinatė x ašyje, $j \in [0, M)$ - diskrečios erdvės taško koordinatė y ašyje, $c_{1,i,j}^n$ - pirmos medžiagos kiekis diskrečios erdvės taške su indeksais i, j laiko momentu n , $c_{2,i,j}^n$ - antros medžiagos kiekis diskrečios erdvės taške su indeksais i, j laiko momentu n , $c_{3,i,j}^n$ - trečios medžiagos kiekis diskrečios erdvės taške su indeksais i, j laiko momentu n , Δt - laiko žingsnis, Δx - diskrečios erdvės žingsnis x ašimi, Δy - diskrečios erdvės žingsnis y ašimi.

3.3. Modelio skaitinis stabilumas

Norint užtikrinti skaitinį programos stabilumą, reikia užtikrinti, kad visais laiko momentais, visuose diskretizuotos erdvės taškuose, visų medžiagų koncentracijos išliktų ne neigiamos. Šiai sąlygai išpildyti, užtenka pasirinkti pakankamai mažą laiko žingsnį Δt . Pirmiausia įvedame porą konstantų:

$$\mu_x = \frac{D\Delta t}{(\Delta x)^2}, \quad \mu_y = \frac{D\Delta t}{(\Delta y)^2}$$

Tada pertvarkome dviejų dimensijų skaitinį modelį (9) taip, kad kairėse lygčių pusėse liktų medžiagų koncentracija laiko momentu $n + 1$, o dešinėse lygčių pusėse sugrupuojame narius pagal medžiagų koncentraciją skirtinguose diskretizuotos erdvės taškuose:

$$c_{1,i,j}^{n+1} = \underbrace{(1 - 3\Delta t c_{2,i,j}^n - 2(\mu_x + \mu_y))}_{R_1} c_{1,i,j}^n + \mu_x c_{1,i-1,j}^n + \mu_x c_{1,i+1,j}^n + \mu_y c_{1,i,j-1}^n + \mu_y c_{1,i,j+1}^n \quad (9a)$$

$$c_{2,i,j}^{n+1} = \underbrace{(1 - 5\Delta t c_{1,i,j}^n - 2(\mu_x + \mu_y))}_{R_2} c_{2,i,j}^n + \mu_x c_{2,i-1,j}^n + \mu_x c_{2,i+1,j}^n + \mu_y c_{2,i,j-1}^n + \mu_y c_{2,i,j+1}^n \quad (9b)$$

$$c_{3,i,j}^{n+1} = c_{3,i,j}^n + 2\Delta t c_{1,i,j}^n c_{2,i,j}^n \quad (9c)$$

Baziniu atveju, kai $n = 0$, medžiagų koncentracija visuose taškuose yra ne neigiama, kaip numatyta pradinėje sąlygoje (4). Darome indukcijos hipotezės prielaidą, kad medžiagų koncentracija visuose diskretizuotos erdvės taškuose, laiko momentu n bus ne neigiama:

$$c_{k,i,j}^n \geq 0, \quad k = 1, 2, 3, \quad i = 0, 1, \dots, N-1, \quad j = 0, 1, \dots, M-1 \quad (10)$$

Akivaizdu, kad lygtyje (10c), medžiagos koncentracija $c_{3,i,j}^{n+1}$ bus ne neigiama:

$$\Delta t > 0 \wedge c_{k,i,j}^n \geq 0 \implies c_{3,i,j}^{n+1} = c_{3,i,j}^n + 2\Delta t c_{1,i,j}^n c_{2,i,j}^n \geq 0$$

Pirmos medžiagos lygtyje (10a), galima pastebėti, kad dėmenys su medžiagų koncentracijomis iš aplinkinių diskretizuotos erdvės taškų visada bus ne neigiami dėl prielaidos (11) ir fakto, kad $\mu_x > 0$ ir $\mu_y > 0$:

$$\mu_x c_{1,i-1,j}^n + \mu_x c_{1,i+1,j}^n + \mu_y c_{1,i,j-1}^n + \mu_y c_{1,i,j+1}^n \geq 0$$

Taigi, $c_{1,i,j}^{n+1}$ ženklą lemia tik koeficientas R_1 , todėl įvedame ribojimą, kad $R_1 \geq 0$. Analogiškai,

iš antros medžiagos lygties (10b) gauname, kad $R_2 \geq 0$ ir turime nelygybių sistemą:

$$\begin{cases} 1 - 3\Delta t c_{2,i,j}^n - 2(\mu_x + \mu_y) \geq 0 \\ 1 - 5\Delta t c_{1,i,j}^n - 2(\mu_x + \mu_y) \geq 0 \end{cases}, \quad i = 0, 1, \dots, N-1, \quad j = 0, 1, \dots, M-1 \quad (11)$$

Išreiškę nelygybes (12) per laiko žingsnį Δt gauname:

$$\begin{cases} \Delta t \leq (3c_{2,i,j}^n + 2D((\Delta x)^{-2} + (\Delta y)^{-2}))^{-1} \\ \Delta t \leq (5c_{1,i,j}^n + 2D((\Delta x)^{-2} + (\Delta y)^{-2}))^{-1} \end{cases} \quad (12)$$

Gautas nelygybes galima apjungti dėl jų panašios struktūros. Norint, kad apjungta nelygybė tenkintų sistemą (13), reikia išrinkti mažiausią įmanomą laiko žingsnį Δt , o taip bus tada, kai trupmenos vardiklis bus kuo įmanoma didesnis. Dėl to gauta nelygybė įgaus formą:

$$\Delta t \leq (\max(3c_{2,i,j}^n, 5c_{1,i,j}^n) + 2D((\Delta x)^{-2} + (\Delta y)^{-2}))^{-1} \quad (13)$$

Taigi, parodėme, kad su pakankamai mažu laiko žingsniu Δt išvengiame neigiamų sprendinio reikšmių. Tačiau čia sustoti būtų nenaudinga, nes turime rekursyvią priklausomybę – norint pasirinkti Δt , reikia žinoti maksimalią medžiagų reikšmę simuliacijoje, o jai sužinoti reikia atlikti simuliaciją su pasirinktu laiko žingsniu Δt .

Parodysime, kad galima panaikinti laiko žingsnio priklausomybę nuo laiko momento n ir kad Δt priklauso tik nuo pradinių sąlygų $c_{1,i,j}^0$ ir $c_{2,i,j}^0$. Medžiagos kiekio pokytis per laiką sistemoje gali būti apskaičiuoti taip:

$$\frac{\partial q_k}{\partial t} = \int_{\Omega} \frac{\partial c_k}{\partial t} dA \quad (14)$$

Išstatome bedimensio modelio lygtis (??), (??):

$$\frac{\partial q_1}{\partial t} = -3 \int_{\Omega} c_1 c_2 dA + D \int_{\Omega} \Delta c_1 dA = -3 \int_{\Omega} c_1 c_2 dA + D \int_{\Omega} \nabla \cdot (\nabla c_1) dA \quad (15)$$

$$\frac{\partial q_2}{\partial t} = -5 \int_{\Omega} c_1 c_2 dA + D \int_{\Omega} \Delta c_2 dA = -5 \int_{\Omega} c_1 c_2 dA + D \int_{\Omega} \nabla \cdot (\nabla c_2) dA \quad (16)$$

Pagal Gauso divergencijos teoremą ir kraštinę sąlygą (2) gauname, kad:

$$\int_{\Omega} \nabla \cdot (\nabla c_k) dA = \int_{\partial\Omega} \nabla c_k \cdot \vec{n} ds = 0, \quad k = 1, 2 \quad (17)$$

Todėl pirmos ir antros medžiagų kiekio pokytis per laiką bus ne teigiamas:

$$\frac{\partial q_1}{\partial t} = -3 \int_{\Omega} c_1 c_2 dA \leq 0 \quad (18)$$

$$\frac{\partial q_2}{\partial t} = -5 \int_{\Omega} c_1 c_2 dA \leq 0 \quad (19)$$

Tai reiškia, kad maksimalios pirmos ir antros medžiagų reikšmės bus laiko momente $n = 0$, tad nelygybę galime suprastinti iki šios formos:

$$\Delta t \leq (\max(3c_{2,i,j}^0, 5c_{1,i,j}^0) + 2D ((\Delta x)^{-2} + (\Delta y)^{-2}))^{-1} \quad (20)$$

Laiko žingsnis čia vis dar priklauso nuo diskretizuotos erdvės koordinatės (i, j) , tačiau tai nesunku pastebėti, kad užtenka parinkti didžiausią reikšmę iš kiekvienos pradinės sąlygos – tokiu būdu laiko žingsnis gausis mažiausias. Iš pradinės sąlygos (4) turime:

$$\max c_{1,i,j}^0 = 3c_0, \quad i = 0, 1, \dots, N-1, \quad j = 0, 1, \dots, M-1$$

$$\max c_{2,i,j}^0 = 5c_0, \quad i = 0, 1, \dots, N-1, \quad j = 0, 1, \dots, M-1$$

Taigi, kad simuliacija išliktų skaitiškai stabili, reikia, kad laiko žingsnis Δt tenkintų šią nelygybę.

$$\Delta t \leq (15c_0 + 2D ((\Delta x)^{-2} + (\Delta y)^{-2}))^{-1}$$

4. Programos sudarymas ir rezultatai

Pagal dviejų dimensijų skaitinį modelį (9) buvo sudarytas uždavinį sprendžiantis skriptas ir kiti pagalbiniai skriptai duomenims vaizduoti ir tikrinti. Skriptai buvo rašomi python programavimo kalba, naudojant numpy, scipy, matplotlib paketus.

4.1. Rezultatų korektiškumo tikrinimas

4.2. Palyginimas su eksperimentiniais duomenimis

5. Maišymo modeliavimas

5.1. Maišymo proceso modelis

5.2. Maišymo procesu papildytos programos rezultatų analizė

Rezultatai ir išvados

Literatūra

- [IKL05] Feliksas Ivanauskas, Aivaras Kareiva, and Bogdanas Lapcun. On the modelling of solid state reactions.Synthesis of YAG. *Journal of Mathematical Chemistry*, 37(4):365–376, 2005-05. ISSN: 1572-8897. DOI: 10 . 1007 / s10910 – 004 – 1103 – 2. (Visited on 2024-10-20).
- [IKL09] Feliksas Ivanauskas, Aivaras Kareiva, and Bogdan Lapcun. Computational modelling of the YAG synthesis. *Journal of Mathematical Chemistry*, 46(2):427–442, 2009-08. ISSN: 1572-8897. DOI: 10 . 1007/s10910-008-9468-2. (Visited on 2024-10-20).
- [PTV⁺07] William H. Press, Saul A. Teukolsky, William T. Vetterling ir Brian P. Flannery. *Numerical Recipes 3rd Edition: The Art of Scientific Computing*. Cambridge University Press, USA, 3 leid., 2007-08. ISBN: 978-0-521-88068-8.
- [ZLH⁺05] Xudong Zhang, Hong Liu, Wen He, Jiyang Wang, Xia Li ir Robert I. Boughton. Novel Synthesis of YAG by Solvothermal Method. *Journal of Crystal Growth*. Proceedings of the 14th International Conference on Crystal Growth and the 12th International Conference on Vapor Growth and Epitaxy, 275(1):e1913–e1917, 2005-02. ISSN: 0022-0248. DOI: 10 . 1016/j . jcrysgro . 2004 . 11 . 274. (Tikrinta 2024-11-03).